

ΠΡΑΚΤΙΚΑ ΤΗΣ ΑΚΑΔΗΜΙΑΣ ΑΘΗΝΩΝ

ΣΥΝΕΔΡΙΑ ΤΗΣ 4ΗΣ ΜΑΡΤΙΟΥ 1993

ΠΡΟΕΔΡΙΑ ΚΩΝΣΤΑΝΤΙΝΟΥ ΔΕΣΠΟΤΟΠΟΥΛΟΥ

ΜΕΤΑΛΛΟΥΡΓΙΑ.— Θεωρητική διερεύνηση της δέξιδωσης τῶν ἡλεκτροδίων Soderberg στὶς ἡλεκτρικὲς καμίνους ἀναγωγικῆς τήξης, ὑπὸ τοῦ ἀκαδημαϊκοῦ κ. Λουκᾶ Μονσούλου καὶ Ἐμμανουὴλ Ζενγώλη*.

1. ΕΙΣΑΓΩΓΗ

Τὸ κόστος λειτουργίας καθὼς καὶ ἡ παραγωγικότητα τῶν ἡλεκτρικῶν καμίνων ἀναγωγικῆς τήξεως ἐπηρεάζονται σημαντικὰ ἀπὸ τὴν ταχύτητα καταναλώσεως τῶν ἡλεκτροδίων τῶν, τὰ ὅποια εἶναι αὐτοψήνομενα τύπου Soderberg. Ὑπάρχουν μάλιστα περιπτώσεις κατὰ τὶς ὅποιες ἡ ταχύτητα καταναλώσεως εἶναι μεγαλύτερη ἀπὸ τὴν ταχύτητα ὀπτήσεως γιὰ μεγάλο χρονικὸ διάστημα ὥστε νὰ καθίσταται ἀδύνατη ἡ λειτουργία τῆς καμίνου στὴ μεγίστη ἴσχυν κατὰ τὸ διάστημα αὐτὸν. Ἔτσι προκαλεῖται μείωση τῆς παραγωγικότητος καὶ αὔξηση τοῦ κόστους λειτουργίας. Τέτοιες περιπτώσεις παρουσιάζονται συχνὰ κατὰ τὴν παραγωγὴ τῶν σιδηροκραμάτων ποὺ εἶναι τὸ κατ' ἔξοχὴν πεδίο ἐφαρμογῆς τῶν ὑπὸ συζήτηση καμίνων [1, 2].

Εἶναι φανερὸ δῖτι κάθε προσπάθεια, ἡ ὅποια μπορεῖ νὰ βοηθήσει στὴ βαθύτερη κατανόηση τῆς κατανάλωσης τῶν ἡλεκτροδίων στὶς καμίνους ἀναγωγικῆς τήξεως ἐνδιαφέρει τὴ μεταλλουργικὴ βιομηχανία καὶ ἴδιαίτερα τὴ μεταλλουργία τῶν σιδηροκραμάτων. Ἡ κατανάλωση δὲ αὐτὴ συνδέεται μὲ τὴν δέξιδωση τῶν ἡλεκτροδίων ἀπὸ τὴν ἐντὸς τῆς καμίνου σκωρίαν, ἐντὸς τῆς ὅποιας κατὰ τὴ λειτουργία τῆς καμίνου τὰ ἀκρα τῶν ἡλεκτροδίων βυθίζονται.

Στὴν παρούσα ἐργασία καταβάλλεται προσπάθεια γιὰ μιὰ θεωρητικὴ προσέγ-

* L. MOUSSOULOS AND E. ZEVGOLIS, Theoretical investigation of the oxidation of Soderberg electrodes in electric reduction furnaces.

γιαση τῆς δξείδωσης τῶν ἡλεκτροδίων Soderberg ἀπὸ τὴ σκωρία, σὲ ἡλεκτρικές κα- μίνους ἀναγωγικῆς τήξεως. Μετὰ μιὰ σύντομη συζήτηση ἐπὶ τῆς εἰσερχομένης στὴν κάμινο θερμότητας, μελετᾶται ἡ θερμοδυναμικὴ τῶν ἀντιδράσεων δξείδωσεως, ἐξε- τάζεται ἡ κινητικὴ τῶν ἀντιδράσεων αὐτῶν καὶ ἔξαγονται διάφορα χρήσιμα συμπε- ράσματα.

2. ΠΑΡΟΧΗ ΘΕΡΜΟΤΗΤΑΣ

Ἡ θερμότητα Q ἡ ὅποια παρέχεται στὴν ἡλεκτρικὴ κάμινο ἀναγωγικῆς τήξεως ἀπὸ τὸ τριφασικὸ ἡλεκτρικὸ ρεῦμα σύντομα δίδεται ὑπὸ τοῦ τύπου

$$Q = 3V_{\varphi\alpha\sigma} I_{\varepsilon\nu} \text{ συνφ } t \quad (1)$$

ὅπου $V_{\varphi\alpha\sigma}$ ἡ φασικὴ τάση, δηλαδὴ ἡ τάση μεταξὺ ἡλεκτροδίου καὶ σκωρίας εἰς Volts, $I_{\varepsilon\nu}$ ἡ ἐνεργὸς ἔνταση εἰς Amps, συνφ ὁ συντελεστὴς ἴσχυος καὶ t ὁ χρόνος παροχῆς τοῦ ρεύματος εἰς sec.

Ἄλλα ἔχομε

$$V_{\pi\omega\lambda} = \sqrt{3} V_{\varphi\alpha\sigma} \quad (2)$$

ὅπου $V_{\pi\omega\lambda}$ ἡ πολικὴ τάση, δηλαδὴ ἡ τάση μεταξὺ δύο ἡλεκτροδίων. Συνεπῶς ἡ ἐξι- σωση (1) γράφεται:

$$Q = \sqrt{3} V_{\pi\omega\lambda} I_{\varepsilon\nu} \text{ συνφ } t \quad (3)$$

ἢ ἀκόμη

$$Q = \sqrt{3} (R_{\delta\iota\epsilon\pi} + R_{\sigma\kappa}) I_{\varepsilon\nu}^2 \text{ συνφ } t \quad (4)$$

δεδομένου ὅτι

$$V_{\pi\omega\lambda} = (R_{\delta\iota\epsilon\pi} + R_{\sigma\kappa}) I_{\varepsilon\nu} \quad (5)$$

ὅπου $R_{\delta\iota\epsilon\pi}$ ἡ ἀντίσταση τῆς διεπιφανείας, δηλαδὴ τῆς διπλοστοιβάδας ἡλεκτροδίου/ σκωρίας καὶ $R_{\sigma\kappa}$ ἡ ἀντίσταση τῆς σκωρίας.

Αὐτὸ σημαίνει ὅτι ἡ εἰσερχομένη στὴν κάμινο θερμότητα ἴσοῦται μὲ τὸ ἄθροισμα τῆς θερμότητας ἡ ὅποια ἀπελευθερώνεται στὴ διεπιφάνεια ἡλεκτροδίου/σκωρίας ($\sqrt{3} R_{\delta\iota\epsilon\pi} I_{\varepsilon\nu}^2$ συνφ t) καὶ τῆς θερμότητας ἡ ὅποια ἀπελευθερώνεται στὴ σκωρία ($\sqrt{3} R_{\sigma\kappa} I_{\varepsilon\nu}^2$ συνφ t)

Έξαλλου, ή άντίσταση $R_{\delta iεπ}$ της διπλοστοιβάδας ήλεκτροδίου/σκωρίας δίδεται όποτε τὸν τύπο

$$R_{\delta iεπ} = \rho_{\delta iεπ} \frac{l_{\delta iεπ}}{S_{\delta iεπ}} \quad (6)$$

ὅπου $\rho_{\delta iεπ}$ ή είδική άντίσταση της διπλοστοιβάδας ήλεκτροδίου/σκωρίας είς Ohm cm, $l_{\delta iεπ}$ τὸ πάχος της διπλοστοιβάδας είς cm καὶ $S_{\delta iεπ}$ ή έπιφάνεια της διπλοστοιβάδας είς cm². Επομένως ὅταν ἐλαττοῦται ή ἐπιφάνεια της διπλοστοιβάδας ($S_{\delta iεπ}$) αὐξάνεται ή άντίσταση αὐτῆς ($R_{\delta iεπ}$). Αὐτὸ δὲ συμβαίνει ὅταν ἐλαττοῦται τὸ βάθος ἐμβάπτισης τοῦ ήλεκτροδίου μέσα στὴ σκωρία.

Όμως ὅταν αὐξάνεται ή άντίσταση διεπιφανείας ήλεκτροδίου/σκωρίας, μὲ δὲ λόγους λόγους ὅταν μειώνεται τὸ βάθος ἐμβάπτισης τοῦ ήλεκτροδίου, αὐξάνεται ή θερμότητα ποὺ ἔκλινεται στὴ διεπιφάνεια ήλεκτροδίου/σκωρίας ($Q_{\delta iεπ}$) σύμφωνα μὲ τὸν τύπο

$$Q_{\delta iεπ} = \sqrt{3} I_{εν}^2 R_{\delta iεπ} \text{ συνφ } t \quad (7)$$

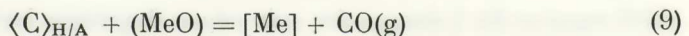
καὶ κατὰ συνέπεια καὶ ή πυκνότητα της θερμότητας στὴ διεπιφάνεια (q), ή ὅποια καθορίζεται διὰ τῆς σχέσεως

$$q = \frac{Q_{\delta iεπ}}{S_{\delta iεπ}} \quad (8)$$

Άλλα αὔξηση τῆς πυκνότητας της θερμότητας, δηλαδὴ αὔξηση τῆς παροχῆς θερμότητας ἀνὰ μονάδα ἐπιφανείας συνεπάγεται αὔξηση τῆς θερμοκρασίας τῆς ἐπιφανείας. Κατὰ συνέπεια μείωση τοῦ βάθους ἐμβάπτισης τῶν ήλεκτροδίων μέσα στὴ σκωρία ὄδηγει σὲ αὔξηση τῆς θερμοκρασίας στὴ διεπιφάνεια ήλεκτροδίου/σκωρίας.

3. ΘΕΡΜΟΔΥΝΑΜΙΚΗ ΤΗΣ ΟΞΕΙΔΩΣΕΩΣ

Η μόνη χημική άντιδραση, ή ὅποια λαμβάνει χώρα στὴ διεπιφάνεια ήλεκτροδίου/σκωρίας καὶ προκαλεῖ τὴν ὀξείδωση τοῦ ήλεκτροδίου, εἶναι [3]:



ὅπου $\langle C \rangle_{H/A}$ ὁ ἀνθρακας τοῦ ήλεκτροδίου, (MeO) τὸ ὀξείδιο τοῦ μετάλλου στὴ σκωρία καὶ $[Me]$ τὸ παραγόμενο μέταλλο.

"Οπως είδαμε παραπάνω, όταν μειούται τὸ βάθος ἐμβάπτισης τοῦ ἡλεκτροδίου, αὐξάνεται ἡ θερμοκρασία στὴ διεπιφάνεια καὶ ἐπομένως ἡ ἀντίδραση (9) λαμβάνει χώρα σὲ ὑψηλότερη θερμοκρασία. Αὕηση ὅμως τῆς θερμοκρασίας προκαλεῖ μείωση τῆς πρότυπης ἐλεύθερης ἐνθαλπίας ΔG_T° τῆς ἀντιδράσεως ὁξειδώσεως [4] (ἀντίδραση 9). Συνεπῶς ἡ αὔηση τῆς θερμοκρασίας εύνοει τὴν ὁξειδώση τοῦ ἀνθρακα τῶν ἡλεκτροδίων πρὸς CO. Στὴν περίπτωση π.χ. ποὺ τὸ (MeO) στὴ σκωρία εἶναι τὸ FeO ἔχομεν [5]:

$$\begin{array}{ll} (\text{FeO}) = [\text{Fe}] + 0,5\text{O}_2(\text{g}) & \Delta G_T^\circ = 56.900 - 11,82 \text{ T} \\ \langle \text{C} \rangle_{\text{H}/\Delta} + 0,5\text{O}_2(\text{g}) = \text{CO(g)} & \Delta G_T^\circ = - 28.200 - 20,16 \text{ T} \\ \hline \langle \text{C} \rangle_{\text{H}/\Delta} + (\text{FeO}) = [\text{Fe}] + \text{CO(g)} & \Delta G_T^\circ = 28.700 - 31,98 \text{ T} \end{array} \quad (12)$$

'Εξ ἄλλου ἡ διέλευση τοῦ ἡλεκτρικοῦ ρεύματος ἀπὸ τὸ ἡλεκτρόδιο προκαλεῖ ἀνοδὸ τῆς θερμοκρασίας τῆς διεπιφάνειας λόγω τῆς ἐκλυομένης ἐκεῖ θερμότητας Qδεπ σύμφωνα μὲ τὸν τύπο (7). Καὶ ἡ ἀνοδὸς αὐτὴ προωθεῖ φυσικὰ τὴν ἀντίδραση ὁξειδώσεως τοῦ ἡλεκτροδίου (ἀντίδραση 9) πρὸς τὰ δεξιά. Σημειωτέον ὅτι ἡ ἐν λόγῳ ἀνοδὸς εἶναι σημαντική, σύμφωνα δὲ μὲ τὴ βιβλιογραφία [6-10] ἡ θερμοκρασία στὴν ἀκρη τοῦ ἡλεκτροδίου ὑπερβαίνει τοὺς 2000°C.

'Αφ' ἑτέρου, ἡ πρότυπη ἐλεύθερη ἐνθαλπία τῆς ἀντιδράσεως (9) ὁξειδώσεως τοῦ ἡλεκτροδίου δίδεται ἀπὸ τὸν τύπο

$$\Delta G_T^\circ = - RT \ln K \quad (13)$$

ὅπου K ἡ σταθερὰ ισορροπίας. Καὶ ἀφοῦ $\Delta G_T^\circ < 0$ θὰ ἔχουμε $-RT \ln K < 0$ ἢ $\ln K > 0$ καὶ συνεπῶς $K > 1$ ἥτοι

$$K = \frac{\alpha_{[\text{Me}]} P_{\text{CO}}}{\alpha_{\langle \text{C} \rangle_{\text{H}/\Delta}} \alpha_{(\text{MeO})}} > 1$$

ὅπου $\alpha_{[\text{Me}]}$, $\alpha_{\langle \text{C} \rangle_{\text{H}/\Delta}}$, $\alpha_{(\text{MeO})}$, οἱ ἐνεργότητες τοῦ μετάλλου, τοῦ ἀνθρακα τῶν ἡλεκτροδίων καὶ τοῦ MeO ἀντιστοίχως καὶ P_{CO} ἡ πίεση τοῦ CO. Συνεπῶς, ἡ θερμοδυναμικὴ ισορροπία τῆς ἀντίδρασης ὁξειδώσεως εὑρίσκεται πρὸς τὰ δεξιά. Καὶ ὅσο πιὸ ἀρνητικὴ εἶναι ἡ τιμὴ τοῦ ΔG_T° τόσο μεγαλύτερη εἶναι ἡ τιμὴ τῆς σταθερᾶς ισορροπίας (K) καὶ τόσο ισχυρότερη ἡ ὁξειδώση τοῦ ἡλεκτροδίου.

'Απὸ τὴν παραπάνω ἀνάλυση προκύπτει ὅτι ἡ ὁξειδώση τοῦ ἡλεκτροδίου εὐνοεῖται ἀπὸ τὴ μείωση τῆς διεπιφάνειας ἡλεκτροδίου/σκωρίας ἡ ὅποια προκαλεῖ τὴν ἐκεῖ αὔηση τῆς θερμοκρασίας. 'Η αὔηση δὲ αὐτὴ ὀδηγεῖ σὲ αὔηση τῆς σταθερᾶς

ἰσορροπίας τῆς ἀντιδράσεως δέξειδώσεως ἐπιτείνουσα ἔτσι τὴν δέξειδωση. Βεβαίως τὸ θέμα θὰ πρέπει νὰ διερευνηθεῖ καὶ ἀπὸ ἀπόψεως κινητικῆς τῆς ἀντιδράσεως καὶ αὐτὸ ἐπιχειρεῖται ἀμέσως παρακάτω.

4. ΚΙΝΗΤΙΚΗ ΤΗΣ ΟΞΕΙΔΩΣΕΩΣ

Ἡ ταχύτητα τῆς δέξειδώσεως τοῦ ἀνθρακα τῶν ἡλεκτροδίων κατὰ τὴν ἀντίδραση



δίδεται ἀπὸ τὴ σχέση[11]

$$v = \frac{d(W\alpha - W)}{dt} = - \frac{dW}{dt} = \\ = k_1 S_{\delta_{\text{επ}}} c_{C_{H/\Delta}} c_{(MeO)} - k_2 c_{[Me]} P_{CO} \quad (14)$$

ὅπου $W\alpha$ τὸ ἀρχικὸ βάρος τοῦ ἡλεκτροδίου, W τὸ βάρος τοῦ ἡλεκτροδίου σὲ χρόνο t , k_1 ἡ σταθερὰ τῆς ταχύτητας τῆς ἀντίδρασης (9) πρὸς τὰ δεξιά, k_2 ἡ σταθερὰ τῆς ταχύτητας τῆς ἀντίδρασης (9) πρὸς τὰ ἀριστερά, $S_{\delta_{\text{επ}}}$ ἡ διεπιφάνεια ἡλεκτροδίου/σκωρίας, $c_{C_{H/\Delta}}$ ἡ συγκέντρωση τοῦ ἀνθρακα τοῦ ἡλεκτροδίου, $c_{(MeO)}$ ἡ συγκέντρωση τοῦ MeO στὴ διεπιφάνεια ἡλεκτροδίου/σκωρίας, $c_{[Me]}$ ἡ συγκέντρωση τοῦ μετάλλου Me στὴ διεπιφάνεια ἡλεκτροδίου/σκωρίας καὶ P_{CO} ἡ πίεση τοῦ CO στὴ διεπιφάνεια ἡλεκτροδίου/σκωρίας.

Ομως τὸ $c_{[Me]}$ μπορεῖ νὰ θεωρηθεῖ ὅτι ἔχει πολὺ χαμηλὴ τιμὴ ἀφοῦ μόλις σχηματισθεῖ τὸ μέταλλο Me στὴ διεπιφάνεια ἀπομακρύνεται ἔνεκα τῆς μεγάλης διαφορᾶς εἰδικοῦ βάρους μετάλλου καὶ σκωρίας. Τὸ ἵδιο ἴσχυει καὶ διὰ τὸ CO, συνεπῶς καὶ ἡ τιμὴ τοῦ P_{CO} μπορεῖ νὰ θεωρηθεῖ πολὺ χαμηλή. Ἐπίσης ὁ ἀνθρακας τῶν ἡλεκτροδίων θεωρεῖται καθαρὸ στερεὸ καὶ ἐπομένως τὸ $C_{H/\Delta}$ εἶναι ἵστος πρὸς τὴ μονάδα. "Ἐτσι, ἡ ἔξισωση (14) μπορεῖ νὰ γραφεῖ:

$$v \sim k_1 S_{\delta_{\text{επ}}} c_{(MeO)} \quad \text{ἢ} \quad (15)$$

$$v = k S_{\delta_{\text{επ}}} c_{(MeO)} \quad (16)$$

ὅπου k ἡ σταθερὰ τῆς ταχύτητας δέξειδωσης. Ἐὰν δὲ θεωρηθεῖ ὅτι ἐπικρατοῦν σταθερὲς συνθῆκες λειτουργίας στὴν κάμινο, τότε καὶ τὸ $c_{(MeO)}$ παραμένει σταθερό, ὅπότε ἡ ταχύτητα δέξειδώσεως τοῦ ἡλεκτροδίου ἔξαρταται μόνο ἀπὸ τὸ k καὶ τὸ $S_{\delta_{\text{επ}}}$.

"Ομως τὸ k αὐξάνεται μὲ τὴν θερμοκρασία σύμφωνα μὲ τὴν ἐξίσωση Arrhenius[11]

$$k = Ae^{-\frac{E}{RT}} \quad (17)$$

ὅπου A σταθερά, E ἡ ἐνέργεια ἐνεργοποιήσεως εἰς cal/mole τῆς ἀντίδρασης ὀξειδώσεως (ἀντίδραση 9), R ἡ σταθερὰ τῶν ἀερίων (1,986 cal/mole °K), καὶ T ἡ θερμοκρασία εἰς °K. Συνεπῶς, μὲ τὴν θερμοκρασία αὐξάνεται καὶ ἡ ταχύτητα ὀξειδώσεως. Σύμφωνα δὲ μὲ τὸν τύπο (16) ἡ ταχύτητα ὀξειδώσεως μειοῦται μὲ τὴν μείωση τῆς διεπιφάνειας S_{διεπ.}, ἡ δποία μείωση ὅμως προκαλεῖ αὔξηση τῆς θερμοκρασίας. Τελικά, ἡ συνολικὴ μεταβολὴ τῆς ταχύτητας ὀξειδώσεως ἀπὸ τὴν αὔξηση τοῦ k καὶ τὴν μείωση τοῦ S_{διεπ.} δὲν εἶναι ἐκ πρώτης ὄψεως ἐμφανής. Μπορεῖ ὅμως νὰ ὑπολογισθεῖ ὡς ἀκολούθως :

"Εστω ὅτι ἡ θερμοκρασία αὐξάνεται ἀπὸ T₁ σὲ T₂. Τὸ k μεταβάλλεται ἀπὸ k(T₁) σὲ k(T₂)."

"Έχομε σύμφωνα μὲ τὴν ἐξίσωση Arrhenius :

$$k(T_1) = Ae^{-\frac{E}{RT_1}} \quad \text{καὶ} \quad k(T_2) = Ae^{-\frac{E}{RT_2}}$$

ἀπὸ συνδυασμὸ τῶν δποίων προκύπτει

$$\ln k(T_2) - \ln k(T_1) = \frac{E}{R} \left(\frac{T_2 - T_1}{T_1 T_2} \right)$$

$$\frac{k(T_2)}{k(T_1)} = e^{\frac{E}{R} \left(\frac{T_2 - T_1}{T_1 T_2} \right)}$$

$$k(T_2) = k(T_1) e^{\frac{E}{R} \left(\frac{T_2 - T_1}{T_1 T_2} \right)} \quad (20)$$

ποὺ δίδει τὴν ἐπίδραση ἐπὶ τοῦ k τῆς αὔξήσεως τῆς θερμοκρασίας ἀπὸ T₁ σὲ T₂.

Εἰς ὅτι τώρα ἀφορᾶ τὴν ἐπίδραση τῆς μειώσεως τῆς διεπιφανείας S_{διεπ.} (τῆς δποίας ἡ τιμὴ συνδέεται μὲ τὴ διάμετρο τοῦ ἡλεκτροδίου καὶ τὸ βάθος ἐμβαπτίσεως τοῦ) ἐπὶ τῆς ταχύτητας ὀξειδώσεως, ἀς θεωρήσουμε ὅτι ἡ διάμετρος D αὐξάνεται π.χ. ἀπὸ D₁ = 1,30 m σὲ D₂ = 1,40 m καὶ ὅτι τὸ βάθος τῆς ἐμβάπτισης h μέσα στὴ σκωρία παραμένει σταθερό, ἴσο μὲ 1,00 m. Ἡ διεπιφάνεια ἡλεκτροδίου/σκωρίας

$$S_{\delta \text{επ}} = \pi D h + \pi \frac{D^2}{4} \quad (21)$$

ανέχεται άπό :

$$S_{\delta \text{επ}} (D_1) = \pi 1,30 1,00 + \pi \frac{(1,30)^2}{4} = 5,41 \text{ m}^2 \quad \text{σε}$$

$$S_{\delta \text{επ}} (D_2) = \pi 1,40 1,00 + \pi \frac{(1,40)^2}{4} = 5,93 \text{ m}^2$$

όποτε έχομε :

$$\frac{S_{\delta \text{επ}} (D_2)}{S_{\delta \text{επ}} (D_1)} = \frac{5,93}{5,41} = 1,097$$

και

$$S_{\delta \text{επ}} (D_2) = 1,097 S_{\delta \text{επ}} (D_1) \quad (22)$$

Αλλά άπό τη σχέση μεταξύ $R_{\delta \text{επ}}$, $S_{\delta \text{επ}}$ και $l_{\delta \text{επ}}$ (έξισωση 6) προκύπτει ότι

$$R_{\delta \text{επ}} (D_2) = \rho_{\delta \text{επ}} \frac{l_{\delta \text{επ}}}{1,907 S_{\delta \text{επ}} (D_1)} = \frac{R_{\delta \text{επ}} (D_1)}{1,097} \quad \vec{\eta}$$

$$R_{\delta \text{επ}} (D_2) = \frac{R_{\delta \text{επ}} (D_1)}{1,097} \quad (23)$$

ενώ άπό τη σχέση μεταξύ θερμότητας και αντίστασης της διεπιφάνειας (έξισωση 7) προκύπτει

$$Q_{\delta \text{επ}} (D_1) = \sqrt{3} I_{\text{εν}}^2 R_{\delta \text{επ}} (D_1) \text{ συνφ } t \quad \text{και}$$

$$Q_{\delta \text{επ}} (D_2) = \sqrt{3} I_{\text{εν}}^2 R_{\delta \text{επ}} (D_2) \text{ συνφ } t \quad \vec{\eta}$$

$$Q_{\delta \text{επ}} (D_2) = \sqrt{3} I_{\text{εν}}^2 \frac{R_{\delta \text{επ}} (D_1)}{1,097} \text{ συνφ } t$$

$$Q_{\delta \text{επ}} (D_2) = \frac{Q_{\delta \text{επ}} (D_1)}{1,097} \quad (24)$$

Έξ άλλου έχομε τις σχέσεις :

$$Q_{\delta \text{επ}} (D_1) = S_{\delta \text{επ}} (D_1) \text{ m c } \Delta T (D_1) \quad (25)$$

$$Q_{\delta \text{επ}} (D_2) = S_{\delta \text{επ}} (D_2) \text{ m c } \Delta T (D_2) \quad (26)$$

δπου μ ή μάζα άνα μονάδα έπιφανείας της διπλοστοιβάδας είς gr/cm² και c ή είδική θερμότητα της διπλοστοιβάδας είς cal/gr. Έκ τού συνδυασμού τών σχέσεων τούτων προκύπτει

$$\frac{Q_{\delta i e p}(D_2)}{Q_{\delta i e p}(D_1)} = \frac{S_{\delta i e p}(D_2)}{\delta_{\delta i e p}(D_1)} \frac{\Delta T(D_2)}{\Delta T(D_1)}$$

και δεδομένης της σχέσεως μεταξύ $Q_{\delta i e p}(D_2)$ και $Q_{\delta i e p}(D_1)$ (έξισωση 24) λαμβάνομε

$$\frac{Q_{\delta i e p}(D_1)}{1,097 Q_{\delta i e p}(D_1)} = \frac{1,097 S_{\delta i e p}(D_1) \Delta T(D_2)}{S_{\delta i e p}(D_1) \Delta T(D_1)} \quad \text{η}$$

$$\Delta T(D_2) = \frac{\Delta T(D_1)}{1,203}$$

· Η τελευταία αύτη σχέση γράφεται

$$(T_2 - T_0) / 1,203 = (T_1 - T_0) \quad (27)$$

$$(T_2 - 298) / 1,203 = (T_1 - 298) \quad (28)$$

για $T_0 = 298^{\circ}\text{K}$. Και έτοιμη η δραστική θερμοκρασία T_1 της διεπιφάνειας είναι π.χ. 1700°K (1427°C)[12, 13] τότε με την αύξηση της διαμέτρου του ήλεκτροδίου άπο $D_1 = 1,30 \text{ m}$ σε $D_2 = 1,40 \text{ m}$, και σταθερό βάθος έμβαπτισης $h = 1,00 \text{ m}$, η τελική θερμοκρασία της διεπιφάνειας σύμφωνα με την έξισωση (28) θα είναι ίση πρὸς $T_2 = 1463^{\circ}\text{K}$ ή 1190°C .

Τέλος, έτοιμη η τιμή της ένεργειας ένεργοποιήσεως E της άντιδράσεως διειδώσεως τού ήλεκτροδίου (έξισωση 9) ίση πρὸς $E = 55.500 \text{ cal/mole}$ [14] και άντικατασταθούν στην έξισωση (20) τὰ E, T_1 , T_2 και R με τις άντιστοιχεις τιμές ($T_1 = 1463^{\circ}\text{K}$, $T_2 = 1790^{\circ}\text{K}$) λαμβάνομε :

$$k(1463^{\circ}\text{K}) = k(1790^{\circ}\text{K}) \cdot e^{\frac{55500}{1,986} \left(\frac{1463 - 1790}{1790 - 1463} \right)} = \\ = 0,0697 k(1790^{\circ}\text{K}) \quad (29)$$

$$k(T_2) = 0,07 k(T_1)$$

· Από τούς παραπάνω ύπολογισμούς προκύπτει ότι η αύξηση της διεπιφανείας

ήλεκτροδίου/σκωρίας κατά 9,7% πού προέρχεται άπό την αύξηση της διαμέτρου άπό 1,30 m σε 1,40 m προκαλεῖ μείωση της σταθερᾶς k της ταχύτητας δέξιειδώσεως κατά 93% σύμφωνα μὲ τὴν ἔξισωση (29). Αντικαθιστώντας δὲ τὶς τιμές $S_{διεπ}(D_2)$ καὶ $k(T_2)$ στὴν ἔξισωση (16) προκύπτει :

$$v(D_2) = 0,07 \ k(T_1) \ 1,097 \ S_{διεπ}(D_1) \ c_{(MeO)}$$

$$v(D_2) = 0,08 \ v(D_1) \quad (30)$$

Ἐτσι, ἡ αύξηση τῆς διεπιφανείας ἡλεκτροδίου/σκωρίας άπὸ $S_{διεπ}(D_1)$ σὲ $S_{διεπ}(D_2)$ ἐλαττώνει σημαντικὰ τὴν θερμοκρασία αὐτῆς καθὼς καὶ τὴν ταχύτητα δέξιειδώσεως τοῦ ἡλεκτροδίου. Συγκεκριμένα ἡ αύξηση τῆς διεπιφανείας κατὰ 9,7% (αύξηση τῆς διαμέτρου άπὸ D = 1,30 m σὲ D = 1,40 m) ἐλαττώνει τὴν θερμοκρασία της απὸ τοὺς 1700 °K στοὺς 1463 °K καὶ ἐλαττώνει τὴν ταχύτητα δέξιειδώσεως τοῦ ἡλεκτροδίου κατὰ 92% σύμφωνα μὲ τὴν ἔξισωση (30).

Ἡ αύξηση τῆς διεπιφανείας ἡλεκτροδίου/σκωρίας μπορεῖ νὰ ἐπιτευχθεῖ καὶ μὲ αύξηση τοῦ βάθους ἐμβάπτισεως h τοῦ ἡλεκτροδίου ὅπως φαίνεται στὴν ἔξισωση (21). Τὸ βάθος δὲ ἐμβάπτισης μπορεῖ νὰ αὔξηθει εἴτε μὲ μεγαλύτερη βύθιση τοῦ ἡλεκτροδίου σὲ σταθεροῦ πάχους σκωρία εἴτε μὲ αύξηση τοῦ πάχους τῆς σκωρίας. Στὴν πρώτη περίπτωση προκαλεῖται μείωση τῆς ἀντιστάσεως R_{σκ} καὶ ἐκεῖθεν τῆς θερμότητας Q_{σκ} τῆς σκωρίας, προκαλεῖται δηλαδὴ μείωση τῆς ἀπορροφούμενης άπὸ τὴν κάμινο ἐνεργείας. Στὴ δεύτερη περίπτωση, προκαλεῖται αύξηση τῆς θροστατικῆς πίεσης τῆς σκωρίας μὲ ἀποτέλεσμα τὴν αύξηση τῆς ταχύτητας ροῆς τῆς κατὰ τὴν ἀποσκωρίωση καὶ τὴν ἐξ αὐτῆς δημιουργία δυσκολιῶν. Κατὰ συνέπεια, αύξηση τῆς διεπιφανείας ἡλεκτροδίου/σκωρίας διὰ αύξησεως τοῦ βάθους ἐμβάπτισεως h ἔχει ὅπωσδήποτε ἐπίπτωση στὴν παραγωγικότητα τῆς καμίνου. Ο μόνος πρόσφορος τρόπος αύξησης τῆς διεπιφανείας αὐτῆς καὶ ἐπομένως μειώσεως τῆς καταναλώσεως ἡλεκτροδίων εἶναι ἡ αύξηση τῆς διαμέτρου αὐτῶν.

5. ΣΥΜΠΕΡΑΣΜΑΤΑ

Ἡ ἐλάττωση τῆς διεπιφανείας ἡλεκτροδίου/σκωρίας στὴν ἡλεκτρικὴ κάμινο ἀναγωγικῆς τήξεως προκαλεῖ αύξηση τῆς θερμοκρασίας στὴ διεπιφάνεια αὐτῆς. Καὶ ἡ αύξηση τῆς θερμοκρασίας προκαλεῖ μείωση τῆς πρότυπης ἐλεύθερης ἐνθαλπίας ΔG_T τῆς ἀντιδράσεως δέξιειδώσεως τοῦ ἡλεκτροδίου άπὸ τὴ σκωρία. Μειουμένης ὅμως τῆς ἐλεύθερης ἐνθαλπίας αὐξάνεται ἡ τιμὴ τῆς σταθερᾶς ίσορροπίας τῆς ἀντί-

δρασης δέξειδώσεως. Μέν αλλούς λόγους όταν αύξάνεται ή θερμοκρασία τής διεπιφανείας αύξάνεται τὸ ποσοστὸ δέξειδώσεως τοῦ ἡλεκτροδίου ἀπὸ τὴ σκωρία. Αὐτὰ εἶναι τὰ συμπεράσματα ἀπὸ τὴ θερμοδυναμικὴ μελέτη τῆς ἀντιδράσεως δέξειδώσεως.¹ Άπο τὴν κινητικὴ δὲ μελέτη τῆς ἀντιδράσεως αὐτῆς ἔξαγεται τὸ συμπέρασμα ότι καὶ ἡ ταχύτητα τῆς δέξειδώσεως αύξάνεται μὲ τὴν αὔξηση τῆς θερμοκρασίας τῆς διεπιφανείας ἡλεκτροδίου/σκωρίας.

Σύμφωνα μὲ τὰ ἀποτελέσματα τῆς θεωρητικῆς μελέτης ἡ αὔξηση τῆς διαμέτρου τῶν ἡλεκτροδίων, μὲ σταθερὲς τὶς ὑπόλοιπες παραμέτρους λειτουργίας τῆς καμίνου προκαλεῖ σημαντικὴ μείωση τῆς ταχύτητας δέξειδώσης τοῦ ἡλεκτροδίου καὶ ὁδηγεῖ σὲ μείωση τῆς καταναλώσεως τούτου. Αὐτὸς ίσχυει ἀνεξάρτητα ἀπὸ τὸν τρόπο ρευματοδοσίας, δηλαδὴ ἀνεξάρτητα ἀπὸ τὸ ἐὰν τὰ ἡλεκτρόδια εἴναι τύπου Hochfassung η Tieffassung[15, 16]. Τὸ ἵδιο ίσχυει ἐπίσης ἀνεξάρτητα ἀπὸ τὸν τρόπο λειτουργίας τῆς καμίνου, δηλαδὴ ἀνεξάρτητα ἀπὸ τὸ ἐὰν ἡ κάμινος λειτουργεῖ μὲ ἀνοιχτὸν ἢ κλειστὸν λουτρό.

Τὰ παραπάνω συμπεράσματα ἐπιβεβαιώνονται στὴ βιομηχανικὴ πράξη καὶ ἐπιτρέπουν τὴν καλύτερη κατανόηση τῶν πρακτικῶν παρατηρήσεων κατὰ τὴ λειτουργία τῶν ἐν λόγῳ καμίνων.

S U M M A R Y

Theoretical investigation of the oxidation of Soderberg electrodes in electric reduction furnaces.

This work refers to a theoretical investigation of Soderberg electrode oxidation by the slag, in electric reduction furnaces.

According to the thermodynamic study of this oxidation, when temperature of the electrode/slag interface is increasing, the standard Gibbs free energy value of the reaction is decreasing, i.e., $\Delta G_T^\ominus < 0$. Consequently the equilibrium constant of the reaction increases, and the oxidation is enhanced. Further on, the kinetic study shows that the rate of oxidation of the electrode increases when the temperature of the electrode/slag interface increases.

Also, according to this work when the electrode/slag interface increases, the temperature of this interface decreases bringing about a decrease in the rate of oxidation. Therefore, when the electrode diameter is increased the electrode consumption will be cut down. This holds irrespectively of the position of contact blocks on the electrode (i.e., whether they are above or bellow

the furnace roof) and also irrespectively of the mode of furnace operation (i.e., with an open or a closed bath). These theoretical conclusions are verified in industrial practice and they allow a better understanding of the observations during operation of the reduction furnaces.

B I B L I O Γ R A F I A

1. Robiette, A. G. E., «Electric Smelting Processes». Charles Griffin and Co, 42 Drury Lane, London, WC2B 5RX, England, 1973.
2. Elyutting, V. P., Pavlov, Yu. A., Levin, B. E., and Alekseev, E. M., «Production of Ferroalloys. Electrometallurgy». 2nd Edition, Translated from Russian. Published by Israel Program for Scientific Translations, 1961.
3. Ζευγάλης, Μ. Ν., «Η Οξειδωση τῶν Ἡλεκτροδίων Soderberg στὶς Ἡλεκτρικὲς Καμίνους Ἀναγωγικῆς Τήξης». Μεταλλειολογικὰ-Μεταλλουργικὰ Χρονικά, Νο 4, σ. 33-49, 1992.
4. Swalin, R. A., «Thermodynamics of Solids». John Wiley and Sons, 4th printing, 1967.
5. B. O. H. Steelmaking. Physical Chemistry of Steelmaking Committee, 3rd Edition. Published by AIME, p. 680, 1964.
6. Olsen, L. et al., «Temperature Distribution in Soderberg Electrodes». No 405, 7th International Congress of Electroheat, Warsaw, 1972.
7. Innvaer, R. and Olsen, L., «Temperatures in the Soderberg Electrodes in Unsteady State Conditions». Id. No 5, 8th International Congress of Electroheat, Liege, 1976.
8. Arnesen, A. G., Okstad, S., Innvaer, R. and Olsen, L., «Operation of Soderberg Electrodes». IFALA, International Congress on Ferroalloys, Acapulco, Mexico, May 1978.
9. Innvaer, R., Olsen, L. and Vatland, A., «Operational Parameters for Soderberg Electrodes, from Calculations, Measurements and Plant Experience». Elkem A/S, Postboks, 487, 4601 Kristiansand S., Norway, 1984.
10. Vatland, A. «Calculated Electrode Temperatures». Elkem A/S, R and D Center, Postboks, 487, 4601 Kristiansand S., Norway, Nov. 1980.
11. Habashi, F. «Principles of Extractive Metallurgy». General Principles, Vol. I, Gordon and Breach, Science Publishers, 2nd Printing, pp. 111-170, 1980.
12. Ζευγάλης, Μ. Ν. «Η Λειτουργία τῶν Ἡλεκτροχαμίνων Ἀναγωγικῆς Τήξης τῶν Ἐλληνικῶν Νικελιούχων Λατεριτῶν». «Ορυκτὸς Πλοῦτος», Νο 38, σ. 29-40, Σεπτ. -'Οκτ. 1985.
13. Αγγελόπουλος, Γ., Τζουβελέκης, Κ., Γαϊτάνος, Γ. καὶ Παπαμαντέλας, Δ. «Προοπτικὲς Βελτίωσης τῆς Ἀπόδοσης σὲ Νικέλιο, κατὰ τὴν Ἀναγωγὴν Σιδηρονικελιούχων Μεταλλευμάτων». Συνέδριο γιὰ τὴν Ἀνάπτυξη, ΤΕΕ Δυτ. Ἑλλάδας, Πάτρα, 18-21 Μαΐου, 1981.

14. Fine, A. H. (Editor). «Extractive Metallurgy Laboratory Exercises». Instructor's Guide and Solution Manual, Published by The Metallurgical Society of AIME, p. 18, 1983.
15. Ζευγώλης, Μ.Ν. καὶ Γαϊτάνος, Γ.Φ., «Συμβολὴ στὴ Μελέτη τῶν Ἡλεκτροδίων Soderberg τῶν Ἡλεκτρικῶν Καμίνων Ἀναγωγικῆς Τήξης». «Ὀρυκτὸς Πλοῦτος», Νο 65, σ. 183-194, 1990.
16. Κουτσούχαλης, Α., Κρίτσαλης, Π., Ζευγώλης, Μ.Ν. καὶ Αγατζίνη, Σ., «Ἡ Κατανομὴ τῶν Θερμοκρασιῶν στὸ Ἡλεκτρόδιο Soderberg. Ἐφαρμογὴ στὴν Παραγωγὴ Σιδηρονικελίου». «Ὀρυκτὸς Πλοῦτος», Νο 75, σ. 21-28, 1991.